

1.まえがき レールの曲げ疲労防止を目的として、溶接レールを主として疲労損傷の実態分析を行ひ、さらに敷設レールの疲労強度および負荷応力などを求めた。これらのデータに基づき、溶接レールの曲げ疲労損傷に付いて信頼度分析を試み、二の発生状態に関する考察を行つた。その結果を報告する。

2.溶接レール損傷の実態統計分析 溶接レールの損傷を、品質管理、故障解析などと並んで用いられるワイル分布によつて、累積損傷率と車両直荷を代表する累積直荷トンの関係について分析した。二のような分析の一例を図1に示す。二の図では、両対数紙で表示されており、左は累積損傷率Fの小さい間は、ワイル分布は、次式の関係

$$\log \log \left(\frac{1}{1-F} \right) = k_1 \log F$$

が、良い近似で成立するので、両対数紙によつたものである。

図1では、溶接レールの曲げ疲労は溶接種別によって大きく相異れり。この勾配から、もっとも多発的是在来タイプのテルミット溶接は偶発故障タイプに近く、その他のフラッシュバット溶接、ガス圧溶接は初期故障タイプであることがわかる。

3.敷設レールの曲げ疲労強度 レールは、敷設時には雨水と大気環境下で腐食され、疲労強度が低下する。また、溶接部は、施工時に倒脚不可能な種々の原因により疲労強度が変動する。これらの疲労強度を推定するため、実際に敷設使用した溶接レール及び屋外暴露腐食した母材レールの曲げ疲労試験を行つた。

二の疲労試験結果を図2に示す。これによれば、母材レールは腐食した条件下でも曲げ応力振幅 $\Delta \sigma$ は200万回強度で約200MPa以下のものは認められたり。また初期故障タイプの溶接レールの疲労強度も、二の腐食母材レールとほぼ同じである。一方、偶発故障タイプの在来型テルミット溶接レールの疲労強度は200万回強度 $\Delta \sigma$ として、100MPa以下の中のが生じている。二の溶接レールの200万回強度の分布についてワイル確率紙で推定した結果を図3である。これによれば、二の溶接レールの200万回強度は今で200MPaを越えるものは少なり。二の結果は、腐食母材レールの200万回強度と著しく異なつて居り、高速鉄道においてこれが排除されるひとつ理由である。

4.敷設レールの直荷応力 レールの曲げ疲労強度に影響する直荷応力をして、車両、軌道条件による曲げ応力、レール敷設後の温度応力、製造、溶接時の残留応力などがある。

疲労に最も影響する曲げ応力は、車両、軌道の諸因子の影響を受けるが、高速列車区間で影響する軌道因子としては、レール頭直面の1m程度の短波長のレール/車輪間の凹凸の重複性が指摘されている。レール頭直面では、二の凹凸は特に溶接部に付いて顕著に生じる。これには、製造時のレールの端曲り、溶接施工時の熱変形あるいは敷設使用による変形・偏摩耗などがある。

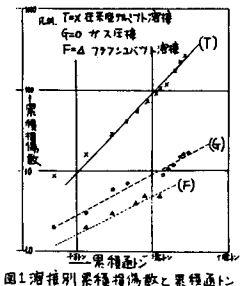


図1 溶接別累積損傷率と累積直荷

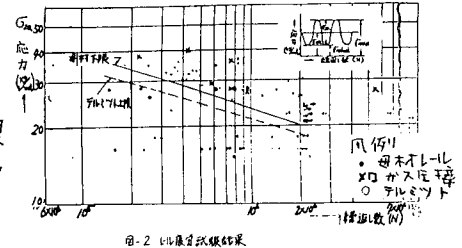


図2 疲労試験結果

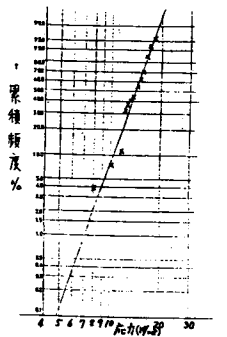


図3 在来型アルミット溶接レールの強度分布

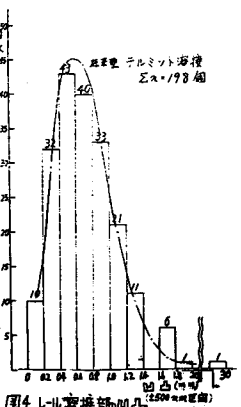


図4 レール頭部凹凸

このようなレール溶接部の凹凸の状態を、溶接部を中心にして 1m 定規を標準として測定した結果により凹凸の絶対値にフリで整理したのが図4である。この凹凸の大きさによる車両荷重の変動は、 1m の板長で中央の凹凸が 1mm の独立した板形の箇所を 200 ケんで走行する車両によりて凹凸率のときの 3 倍程度に達するといふ理論的に求められる。

溶接部における敷設レールの曲げ応力の実測した結果を図5に示す。この図には、応力を測定した各測定点における最大値、平均値および最小値を示してある。この最大値のほかで、もっとも大きな値は約 200 MPa にあつて場合がある。

つぎに、敷設温度応力のうち、ロングレール不動区間ににおける応力は設定期からの温度差によって決定され、 37.5°C の差で約 80 MPa となる。

最後に、残留応力は、製造、溶接過程などの複雑な温度履歴等の影響により相当ばらつくものであるが、製造後の母材レールにフリでは、底部裏面のレール長手方向応力としては引張り応力を示すこと、³⁾ 箱型の報告で明らかにされ、その応力の値は 100 MPa から 200 MPa 程度にあつてゐる。溶接レールの測定結果の一例を図6に示す。これによれば、レール底部裏面のレール長手方向残留応力は正縮となりてゐる。このことは、この残留応力は溶接レールの曲げ疲労强度に影響しない可能性を示すものである。

5. 疲労強度と負荷応力を考慮した溶接レールの曲げ疲労損傷 疲労損傷は、材料・力学・環境など多くの要因に左右される複雑な現象であることは良く知られていけることであるが、以上述べたことを基礎に、エラストレールの底部の曲げ疲労損傷にフリでモデル的整理を試みた。

モデル化の基礎は、信頼度分析における強度および負荷の発生確率を同一応力次元で比較対照する方法である。

負荷応力にフリでは、図4に示した凹凸分布にフリて、凹凸率のときを標準状態の応力とし、 1mm の凹凸を標準状態の3倍の値とする応力を仮定し、凹凸の大きさに比例する発生応力分布を採用する。一方、曲げ疲労強度にフリでは、図3から、偶発タイプの溶接レールの 200 万回強度と腐食母材レールの 200 万回強度の2通りを考慮する。

これらの負荷応力分布と曲げ疲労分布から相互に重なる部位を求めて、溶接レールの偶発故障タイプの場合における損傷発生の可能性が母材レールよりかなり高い可能性が見出された（図7）。一方、高速列車区间における母材レールの曲げ疲労に起因する底部損傷は腐食環境等の原因で発生した非常に少數のものにすぎない。ここで述べた分析結果は、このことを説明するものと考えられる。さらに、初期故障タイプの溶接レールの疲労強度は、平均的に母材腐食レールの疲労強度にはほぼ一致するといふと考慮すると、この溶接レールで損傷したもののは溶接施工時の欠陥によると推定され、かつその数は少ないと考えられる。

6. まとめ 溶接レールの曲げ疲労損傷防止に必要な強度の推定を試み、その安全性評価の資料を得た。これに基に、エラストレールの問題の精度向上を期したい。

文献 1) 佐藤吉彦 東海道新幹線において 951 形式電車に発生した著大輪重の原因とその対策 鉄道技術研究所報告、No.824、昭和42年9月 2) 青山信一、川島実、比留間正夫 レール溶接部の仕上精度およびその後の変化 東海道新幹線に関する研究第6冊 鉄道技術研究所 40年4月 3) ハト島義之助、峰井昌一 レールの残留応力について 鉄道線路 第13巻9号

